



また、 $E_f$ 法に用いる基準耐荷力曲線は、一般的に使用されている道示の曲線(以下JSHB)の他に座屈設計ガイドライン<sup>3)</sup>で推奨される耐荷力曲線の分類1(以下GSD-1)を用いた。

**4. 数値解析結果** Fig.2~5に以上の仮定より得られた結果を示す。尚、各図は横軸に主桁と塔の剛性比として $I_g/I_t$ をとり、縦軸に塔基部位置における主桁の各照査式の値をとった。結果はすべて上記の式が1.0未満であることが安全であるように変形した式を用いた。得られた座屈モードより塔の座屈が先行する領域をハッチした。

まず、600mクラス(Fig.2、3)はいずれの剛性比でも照査値1.0以下を満足し、仮定した断面でも十分な安定性を確保できる。800mクラス(Fig.4、5)はFig.4において剛性比 $I_g/I_t$ が0.02未満の領域( $h < 1.5m$ )で式.(2)、式.(3)の照査値が1.0以上となる。これよりFig.1に仮定した断面の桁幅で800mクラスの斜張橋を設計する際、座屈安定性の点から少なくとも1.5m以上の桁高が必要になる。

また、4図とも共通して、照査の値は式(2)は式(3)に比べ常に同等、それ以上高めの評価をしている。これは着目位置で式(2)が付加モーメントを過大に評価しているためである。

JSHB曲線を採用した式(4)、(5)は、600m、800mとも剛性比が低い領域において式(3)の安定照査と同様の傾向を示し、かつ式(5)については非常に近い値を示す。また、特に剛性比が高い領域で式(5)は高めの照査値になる。これは式(4)、(5)が構造全体としての照査であるために、剛性比の増加により構造全体系で最もクリティカルな要素が桁から塔へと移る現象を捉えているため、また、式(5)は桁高の増加に対するウェブの局部座屈による保有耐力の低下を強く反映するため、他の安定照査値よりも高めの結果が得られた。また、GSD-1曲線のFig.3、5を見ると式(5)は剛性比が低い領域でJSHBと傾向が違い、式(3)とは一致しないものの、剛性比の高い領域ではJSHB曲線と同様の傾向がみられる。

また、塔座屈の先行する領域(斜線部分)は、耐荷力曲線の違いにより同一スパンでも剛性比の範囲が大きく変化する。

**5. 結論** 式(3)は合理的であるとともに、経済的な照査式であり、その採用は今後の斜張橋設計にとって有益である。

式(4)、式(5)は $E_f$ 法を利用した構造全体系の簡易安定照査式であり、特に式(5)は、剛性比の比較的高い実用領域の断面で安定照査と近い値、もしくは若干高めに評価することから簡易という意味では実用的であるろう。

**参考文献** 1)日本道路協会:道路橋示方書・同解説、II 鋼橋編

2)本州四国連絡橋公団:吊橋主塔設計要領・同解説 3)土木学会:座屈設計ガイドライン

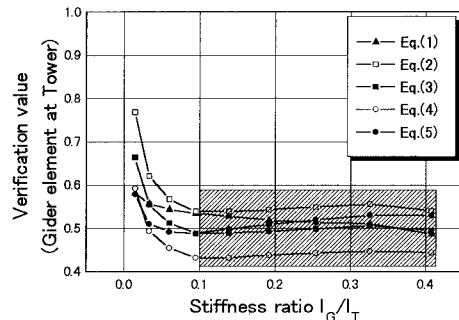


Fig.2 JSHB(600m)の照査結果

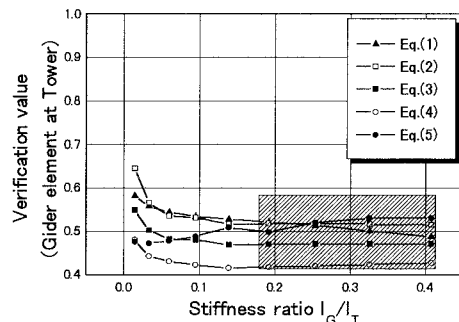


Fig.3 GSD-1(600m)の照査結果

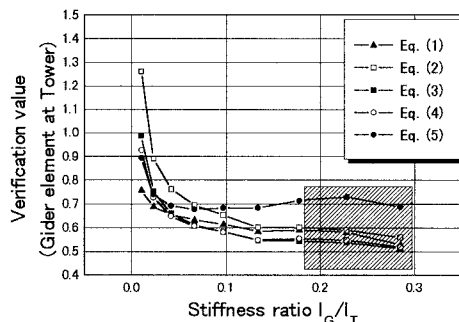


Fig.4 JSHB(800m)の照査結果

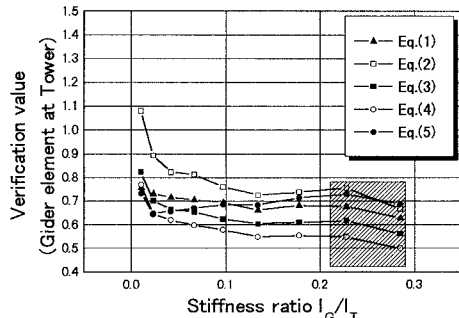


Fig.5 GSD-1(800m)の照査結果